

Барбанягрэ В.Д., д-р, техн. наук, проф.,  
 Матвеев А.Ф., канд. техн. наук, проф.,  
 Смаль Д.В., канд. техн. наук, доц.,  
 Москвичев Д.С., и. с.

Белгородский государственный технологический университет им. В.Г. Шухова

## ФИЗИКО-ТЕХНИЧЕСКИЕ ОСНОВЫ ИЗМЕЛЬЧЕНИЯ МАТЕРИАЛОВ В ТРУБНЫХ МЕЛЬНИЦАХ\*

[xtsm@intbel.ru](mailto:xtsm@intbel.ru)

Использованием отношения массы мелющих тел к массе размалываемого материала в лабораторных условиях изучены процессы измельчения материалов в шаровой трубной мельнице. Установлена возможность интенсификации процесса измельчения в результате применения максимально плотной шаровой загрузки, которая обеспечивает более высокое энергетичное помол материала за счет наличия двух факторов: импульса истирающего действия (ИИД) и импульса ударного сжатия (ИУС). В опытно-промышленных испытаниях достигнуто повышение производительности мельницы на 15-20%.

**Ключевые слова:** плотная загрузка, импульс истирания, импульс ударного сжатия.

Предпринят новых подход к исследованию измельчения в шаровых трубных мельницах [1–10], в основу которого положено применение не энергетических показателей процесса, как это общепринято в научно-технической литературе, а отношение масс взаимодействующих ингредиентов-мелющих тел и размалываемого материала. Отношение их масс позволило выделить фактор, величина которого оказывает существенное влияние на процесс помола. Этим фактором оказался объем размалываемого материала, численное значение которого находится в знаменателе, из чего следует, что для увеличения воздействия мелющих тел на размалываемый материал необходимо уменьшить знаменатель рассматриваемого отношения, что возможно только уменьшая объем размалываемого материала, находящегося в пустотах между шарами, т.е. увеличивая плотность укладки шаров. Так возникла идея применения максимально плотной шаровой загрузки для интенсификации процесса помола.

Предложен механизм воздействия совокупности шаров мелющей загрузки на размалываемый материал в виде импульса ударного сжатия (ИУС) [7], возникающего в момент их макси-

$$\text{ИУС} = \frac{m_{\text{м.т.}}}{m_{\text{опр.}}} = \frac{\gamma_{\text{м.т.}} * V_{\text{м.т.}}}{\rho_{\text{опр.}} * V_{\text{опр.}}} = \frac{7,86 \cdot 0,59}{1,5 \cdot 0,41} = 7,54 \left[ \frac{\text{т}}{\text{т}} \right]$$

Данное соотношение показывает, что размалывающее действие практически в два раза больше, чем при обычной загрузке.

Размер пустоты между шарами характеризуется диаметром вписанного в неё шара. Виды возможных плотных шаров, размеры пустот и вписанных в них шаров приведены табл. 1.

Не все приведенные в таблице мелкие шары могут быть использованы в качестве вписанных в пустоты между основными (крупными) шара-

мального контакта в нижней точке соприкосновения шаров с цилиндрической поверхностью барабана мельницы. В расчете на 1 м<sup>3</sup> шароматериальной загрузки рассматриваемое соотношение имеет следующий вид:

$$\text{ИУС} = \frac{m_{\text{м.т.}}}{m_{\text{опр.}}} = \frac{\gamma_{\text{м.т.}} * V_{\text{м.т.}}}{\rho_{\text{опр.}} * V_{\text{опр.}}} \left[ \frac{\text{т}}{\text{т}} \right],$$

где m<sub>м.т.</sub> – масса мелющих тел, т/м<sup>3</sup>; m<sub>опр.</sub> – масса одновременно размалываемого материала, т/м<sup>3</sup>; γ<sub>м.т.</sub> – плотность мелющих тел, т/м<sup>3</sup>; ρ<sub>опр.</sub> – насыпная масса размалываемого материала, т/м<sup>3</sup>; V<sub>м.т.</sub>, V<sub>опр.</sub> – доля общего объема загрузки, занимаемая мелющими телами и размалываемым материалом соответственно.

Применительно к 1 м<sup>3</sup> шаровой загрузки 1-ой камеры мельницы:

$$\text{ИУС}_{\text{ст}} = \frac{7,86 \cdot 0,59}{1,5 \cdot 0,41} = 7,54 \left[ \frac{\text{т}}{\text{т}} \right] \quad (1)$$

При плотной упаковке шаров пустоты между ними составляют 26% общего объема, шары соответственно занимают 74% шароматериальной загрузки. Отношение массы шаров к массе материала:

$$\text{ИУС} = \frac{m_{\text{м.т.}}}{m_{\text{опр.}}} = \frac{\gamma_{\text{м.т.}} * V_{\text{м.т.}}}{\rho_{\text{опр.}} * V_{\text{опр.}}} = \frac{7,86 \cdot 0,74}{1,5 \cdot 0,26} = 14,91 \left[ \frac{\text{т}}{\text{т}} \right]$$

ми. Шары диаметром 10–15 мм могут пройти в отверстия межкамерных и выгрузочных диафрагм. Если размеры основного и вписанного шара различаются в 10 раз и более, то подвергаются самосортировке в мельнице, которая в данном случае является своеобразным ситом, на котором всегда разделяются мелкие и крупные фракции материала. Для формирования устойчивой плотной укладки оптимальной является пара шаров (основной и вписанный), отношение

масс которых должно находиться в интервале 1,5–3,5. Указанному условию соответствуют пары шаров с заполнением кубической пустоты,  $d_0/d_B$ : 100/70, 80/60, 70/50, 40/30, 30/20, 25/17. Для формирования мелющей загрузки двухка-

мерной мельницы достаточно взять четыре размера шаров (две пары), вместо 10 размеров шаров в традиционной загрузке.

Таблица 1

## Двухшаровые плотные упаковки

Виды шаров	Варианты пар шаров плотной упаковки				
	1	2	3	4	5
Диаметр основного шара ( $d_0$ ), мм	100	80	70	50	40
Диаметр вписанного в пустоту шара $d_B$ , мм	$70^1; 40^2; 20^3$	$60^1; 33^2$	$50^1; 30^2$	$40^1; 20^2$	$30^1; 17^2$

1 – кубическая пустота (образуется восемью соседними шарами);

2 – октаэдрическая пустота (образуется шестью соседними шарами);

3 – тетраэдрическая пустота (образуется четырьмя соседними шарами).

Расчеты показывают, что производительность мельницы с плотной шаровой загрузкой выше на 60-70%, чем на традиционной загрузке. Однако лабораторные испытания на двухкамерной мельнице Гипроцемента и кратковременные опытно-промышленные испытания, показали повышение производительности мельницы в пределах 20-30%. Основная причина заключается в сортировке шаров по размерам в процессе их взаимодействия с бронефутеровкой мельницы. При этом часть крупных шаров концентрируется около межкамерной и выгрузочной диафрагм, что частично разрушает плотность шаровой загрузки. Для сохранения устойчивой шаровой загрузки нами предложена специальная бронефутеровка, содержащая желоба, направленные вдоль окружности барабана мельницы, и спиральные канавки. Желоба препятствуют передвижению и классификации шаров вдоль оси мельницы, а спиральные канавки предназначены для ускорения движения размалываемого материала и достижения его оптимального количества, чтобы сохранить заданную величину ИУСа и обеспечить высокую степень измельчения материала и повышенную производительность мельницы.

Отличительная особенность энергии мелющей шаровой загрузки состоит в том, что она диссирирована (распределена, раздроблена) на микроскопические доли энергии отдельных шаров, которые корректнее рассматривать на примере одного шара: ударное действие шара в водопадном режиме описывается выражением  $IUC = m \cdot g \cdot t$ , где  $m$  – масса шара, кг;  $g$  – ускорение силы тяжести,  $m/s^2$ ;  $t$  – время падения шара, с.

$$\tau = \sqrt{\frac{2 \cdot h}{g}},$$

где  $h$  – высота падения шара, м.

$$\tau = \sqrt{\frac{2 \cdot 1,3}{9,81}} = 0,5 \text{ с.}$$

$$IUC = 1,41 \cdot 9,81 \cdot 0,5 = 6,9 \text{ кг} \cdot \text{м/с.}$$

Детальный анализ показал, что в водопадном режиме движения шаров имеет место еще один механизм действия шаров на размалываемый материал, представляющий собой импульс истирающего действия (ИИД), количественно равный кинетической энергии шара в верхней точке отрыва от поверхности барабана. О наличии такой энергии свидетельствует последующая траектория движения шара по параболе, в отсутствии такой энергии шар падает вниз по вертикальной линии (доказано экспериментально на лабораторной мельнице). Количественно энергия шара диаметром 70 мм равна: ИИД =  $m \cdot V$ , где  $m$  – масса шара, кг;  $V$  – скорость отрыва шара от поверхности барабана, м/с, равная линейной скорости движения окружности барабана, контактирующей с шаровой загрузкой на подъемном участке траектории:

$$V = \frac{2\pi R \cdot v}{60},$$

где  $R$  – радиус мельницы, м;  $v$  – частота вращения мельницы,  $\text{мин}^{-1}$ .

$$V = \frac{2 \cdot 3,14 \cdot 1 \cdot 23,2}{60} = 2,43 \text{ м/с.}$$

$$IID = 1,41 \cdot 2,43 = 3,4 \text{ кг} \cdot \text{м/с.}$$

Таким образом, шар в водопадном режиме оказывает двойное действие на размалываемый материал, а именно, истирание материала в верхней точке отрыва от поверхности барабана и ударное сжатие материала при контакте с поверхностью в нижней точке барабана. Суммарное действие шара массой 1,41 кг за один цикл (подъем-падение) составляет:

$$IUC + IID = 6,9 + 3,4 = 10,3 \text{ кг} \cdot \text{м/с.}$$

Полученные результаты подтверждают высокую эффективность процесса грубого помола клинкера в первой камере мельницы, имеющего кратность измельчения, равную  $\sim 50$  (с 15 мм до 0,3 мм) и в том числе 20–30 % готового цемента конечной тонкости помола ( $< 80$  мкм).

Совсем другая ситуация имеет место во второй камере тонкого помола материала, оснащенной гладкой бронефутеровкой. В движении мелких шаров из-за их недостаточной высоты подъема отсутствует четко выраженные импульсы ударного сжатия и истирающего действия. Основная масса мелких шаров ( $d=20\text{--}30$  мм) совершает медленное поступательно-вращательное движение с полным перемешиванием материала за один оборот барабана мельницы. Так как общее количество шаров во вто-

рой камере мельницы на порядок больше, чем в первой камере, то переданная им энергия диссирирована до такой степени, что единичный шар не в состоянии совершить необходимый истирающий акт воздействия над материалом. Таким образом, почти вся совокупность энергии мелких шаров превращается в теплоту, а процесс измельчения материала прекращается, наглядным примером которого является диаграмма помола на рис. 1, на которой удельная поверхность и остаток на сите 008 представлены ровными линиями параллельными осями абсцисс. Очевидно, что следует и во второй камере создать действенный энергетический потенциал шарово-материальной загрузки по аналогии с первой камерой.

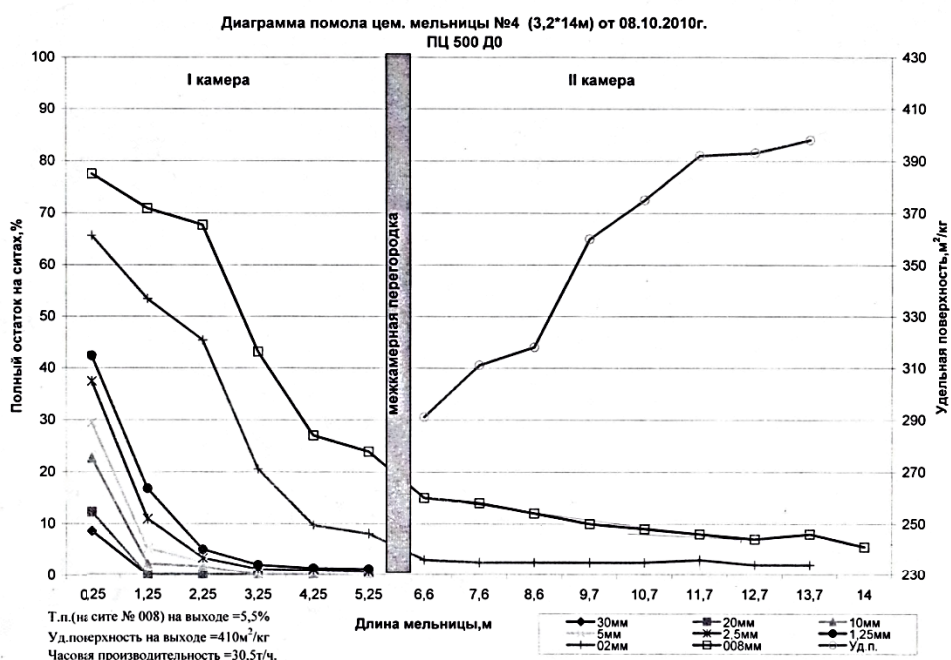


Рис. 1. Диаграмма помола

#### Основные результаты и выводы.

1. Предпринят новый подход к исследованию процесса измельчения материала в трубных мельницах, в основу которого положено применение не энергетических показателей процесса, как это общепринято в научно-технической литературе, а отношения масс взаимодействующих ингредиентов – мелющих тел и размалываемого материала.

2. Предложен механизм воздействия совокупности шаров мелющей загрузки на размалываемый материал в водопадном режиме в виде двух импульсов:

– импульса истирающего действия (ИИД), количественно равного кинетической энергии шаров в верхней точке отрыва от поверхности барабана;

– импульса ударного сжатия (ИУСа), возникающего в момент максимального контакта в нижней точке соприкосновения шаров с цилиндрической поверхностью барабана мельницы, равного отношению масс  $m_{mt}/m_{pm}$ .

3. Предложен способ повышения удельной энергии импульсов истирающего действия и ударного сжатия – применением плотной упаковки шаров в мелющей загрузке; плотная упаковка шаров концентрирует удельную массу мелющих тел в единице объема размалываемого материала и усиливает ИУС в 2 раза.

4. Для сохранения высокой энергии ИИД и ИУСа одновременно с быстрым измельчением необходимо увеличить скорость продвижения размалываемого материала по длине мельницы и его выгрузку, для чего следует и во второй камере тонкого измельчения организовать водо-

падный режим движения шаров с применением лифтерно-желобчатых бронеплит со спиральными дорожками, направленными по образующим барабана мельницы.

\*Исследования выполнены при финансовой поддержке РФФИ в рамках научного проекта № НК 14-41-08029 р\_офи\_м.

## БИБЛИОГРАФИЧЕСКИЙ СПИСОК

1. Андреев С.Е., Товаров В.В., Перов В.А., Закономерности измельчения и исчисления характеристики гранулометрического состава. М.: Металлургиздат, 1959. 437 с.
2. Бажанова О.И., Богданов В.С., Шаптала В.Г. Моделирование температуро-влажностного режима цементной мельницы // Вестник БГТУ им. В.Г. Шухова. 2012. №4. С. 91–95.
3. Севостьянов В.С., Михайличенко С.А., Ильина Т.Н., Маркидин А.А., Сиваченко Т.Л. Способы совершенствования измельчителей ударного действия на основе многостержневых рабочих органов // Вестник БГТУ им. В.Г. Шухова. 2013. №4. С. 87–90.
4. Крыхтин Г.С., Кузнецов Л.Н. Интенсификация работы мельниц. Новосибирск: ВО «Наука», 1993. 240 с.

**Barbanyagre V.D., Matveev A.F., Smal D.V., Moskvichyov D.S.**

## PHYSICAL AND TECHNICAL BASICS OF GRINDING MATERIALS IN PIPE MILLS

*By using the ratio of the mass of grinding media to the mass of the grinding material in the laboratory it was studied the processes of grinding material in a ball mill. It was found the possibility of an intensification of the milling process as a result of the most dense ball load, which provides a high-energy grinding of the material due to the presence of two factors: the impulse of abrasion action (IAA) and impulse of impact compression (IIC). In pilot tests it was achieved increasing the productivity of ball mill by 15–20 %.*

**Key words:** dense loading, impulse of abrasion action, impulse of impact compression.

**Барбанягрэ Владимир Дмитриевич**, доктор технических наук, профессор, кафедры технологии цемента и композиционных материалов.

Белгородский государственный технологический университет им. В.Г. Шухова.

Адрес: Россия, 308012, Белгород, ул. Костюкова, д. 46.

E-mail: xtsm@intbel.ru.

**Матвеев Александр Фролович**, кандидат технических наук, профессор, кафедры технологии цемента и композиционных материалов.

Белгородский государственный технологический университет им. В.Г. Шухова.

Адрес: Россия, 308012, Белгород, ул. Костюкова, д. 46.

E-mail: xtsm@intbel.ru.

**Смаль Дмитрий Викторович**, кандидат технических наук, кафедры технологии цемента и композиционных материалов.

Белгородский государственный технологический университет им. В.Г. Шухова.

Адрес: Россия, 308012, Белгород, ул. Костюкова, д. 46.

E-mail: xtsm@intbel.ru.

**Москвичев Дмитрий Сергеевич**, научный сотрудник, кафедры технологии цемента и композиционных материалов.

Белгородский государственный технологический университет им. В.Г. Шухова.

Адрес: Россия, 308012, Белгород, ул. Костюкова, д. 46.

E-mail: xtsm@intbel.ru.

5. Пироцкий В.З. Цементные мельницы: технологическая оптимизация. С.-Пб.: Изд-во Центра профессионального обновления, 1999. 145 с.

6. Дешко Ю.И., Креймер М.Б., Крыхтин П.С. Измельчение материалов в цементной промышленности. М.: Изд-во литературы по строительству, 1966. 270 с.

7. Капалнец Е.Г. Взаимосвязь работы мельющих тел и футеровочных плит шаровых мельниц // Цемент и его применение. 2010. № 3. С. 80–81.

8. Пат. № 2477659 Российская Федерация, МКП В 02 С 17/20 Шаровая загрузка барабанной мельницы / В.Д. Барбанягрэ; заявитель и правообладатель БГТУ им. В.Г. Шухова. – № 2010121271, заявл. 25.05.10; опубл. 20.03.13.

9. Ходаков Г.С. Тонкое измельчение строительных материалов. М.: Стройиздат, 1972. 240 с.

10. Барбанягрэ В.Д., Смаль Д.В. Плотнейшая шаровая загрузка трубной мельницы и ее эффективность // ИнформЦемент. 2011. № 2(32). С. 49–56.